



ИНСТИТУТ ЯДЕРНОЙ ФИЗИКИ СО АН СССР

41

В.И. Ерофеев, Д.Д. Рютов

УДЕРЖАНИЕ ИОНОВ В ПРОБКОТРОНЕ  
С МАЛЫМ ПРОБОЧНЫМ ОТНОШЕНИЕМ

ПРЕПРИНТ 85-131



НОВОСИБИРСК

В настоящем сообщении рассмотрена задача об удержании ионов в пробкотроне с пробочным отношением  $R$ , близким к единице. Хотя задача о продольных потерях ионов из открытой ловушки рассмотрена достаточно подробно (см.обзор [1] и библиографию в нем), оказалось, что случай  $R-1 \ll 1$  обладает двумя интересными и, по-видимому, не отмечавшимися ранее особенностями: во-первых, при  $R-1 \ll 1$  время жизни плазмы оказывается аномально малым по сравнению с тем, которое можно было бы получить из стандартных формул (см., напр., формулы (1) и (5) в работе [2]); во-вторых, выясняется, что в случае  $R-1 \ll 1$  задача допускает простое аналитическое решение, самосогласованым образом учитывающее амбиполярное электрическое поле.

Задача будет решаться в следующих предположениях:

- 1) длина пробок  $l_{np}$  мала по сравнению с длиной участка однородного магнитного поля  $l$  (обозначения см. на рис.1);
- 2) инжекция ведется на участке однородного поля под углом  $90^\circ$  к силовым линиям;
- 3) длина свободного пробега ионов относительно рассеяния на угол  $\sim \sqrt{R-1}$  велика по сравнению с расстоянием между пробками  $l$ ;
- 4) электроны имеют бульмановское распределение с температурой  $T_e$ ;
- 5) температура  $T_e$  достаточно велика для того, чтобы можно было пренебречь торможением ионов за время их жизни в ловушке.

Перейдем к решению задачи. Ввиду близости пробочного отношения к единице, в интеграле столкновений Ландау, записанном в переменных ( $v_{||}$ ,  $v_{\perp}$ ), достаточно удержать только члены, содержащие вторую производную по  $v_{||}$ . Учитывая одновременно условия 1-3 и 5, можно утверждать, что кинетическое уравнение, определяющее функцию распределения ионов на однородном участке, имеет вид:

$$D \frac{\delta^2 f}{\delta v_{||}^2} + \frac{S}{2\pi v_0} \delta(v_{\perp} - v_0) \delta(v_{||}) = 0 \quad (I)$$

$$D = \frac{4\pi\lambda e^4}{m^2} \int_{-\infty}^{\infty} dv_{||}' \int_0^{\infty} f(v_{||}', v_{\perp}') v_{\perp}' dv_{\perp}'. \quad (2)$$

$$D = \frac{4\pi\Lambda e^4}{m^2} \int_{-\infty}^{\infty} dv_{||}' \int_0^{\infty} f(v_{||}', v_{\perp}') v_{\perp}' dv_{\perp}'. \quad (2)$$

$$\cdot \int_0^{\pi} d\varphi \frac{v_{\perp}^2 + v'_{\perp}^2 - 2v_{\perp}v'_{\perp}\cos\varphi}{[(v_{||} - v'_{||})^2 + v_{\perp}^2 + v'_{\perp}^2 - 2v_{\perp}v'_{\perp}\cos\varphi]^{3/2}},$$

$S$  - число быстрых протонов, захватываемых в единице объема плазмы в единицу времени,  $v_0$ ,  $e$  и  $m$  - их скорость, заряд и масса,  $\Lambda$  - кулоновский логарифм.

Так как при  $R-1 \ll 1$  скорость иона за время его жизни в ловушке меняется незначительно, "коэффициент диффузии"  $D$  достаточно вычислить при  $|v_{\perp} - v_0| \ll v_0$ ,  $|v_{\parallel}| \ll v_0$ . Если просто пренебречь разбросом частиц по скоростям, т.е. положить  $v'_{\perp} = v_0$ ,  $v'_{\parallel} = 0$ ,  $v_{\perp} = v_0$ ,  $v_{\parallel} = 0$ , то получим, что

$$D = \frac{\sqrt{2} \Lambda e^4 n_0}{m^2 v_0} \int_0^{\pi} \frac{d\varphi}{\sqrt{1 - \cos\varphi}}. \quad (3)$$

Этот интеграл логарифмически расходится при  $\varphi \rightarrow 0$ . "Обрезание" его надлежит, очевидно, делать при значениях  $\varphi \sim \Delta v / v_0$ , соответствующих приобретаемому частицами разбросу по скоростям  $\Delta v \sim v_0 \sqrt{B-1}$ . Результат имеет вид:

$$D \approx \frac{2 \Lambda e^4 n_0}{m^2 v_0} \ln \frac{v_0}{\Delta v} \quad (4)$$

Наличие большого логарифмического множителя  $\ln(v_0/\Delta v) \sim \ln(R-1)^{-1/2}$  в выражении для  $D$  показывает, что при  $R-1 \rightarrow 0$  время жизни будет существенно (в  $\ln(R-1)^{-1}$  раз) меньше, чем оцененное по стандартным формулам.

В Приложении коэффициент  $D$  вычислен с большей точностью

(удержан еще один член асимптотического разложения при  $\Delta v \rightarrow 0$ ). Там же показано, что относительное изменение  $D$  в той области пространства скоростей, которая занята ионами, мало. Уточненное выражение для  $D$  имеет вид:

$$D = \frac{2 \Lambda e^4 n_0}{m^2 v_0} \ln \frac{8 v_0}{\Delta V} \quad (4')$$

Решая уравнение (I) с  $D = \text{const}$ , находим, что

$$f = \frac{S v_{\parallel 0}}{4\pi D v_0} \delta(v_\perp - v_0) \begin{cases} 1 - \frac{|v_\parallel|}{v_{\parallel 0}}, & |v_\parallel| < v \\ 0, & |v_\parallel| > v_{\parallel 0}, \end{cases} \quad (5)$$

где  $V_{\parallel 0}$  — не определенная пока граница области удержания. Через  $V_{\parallel 0}$  выражаются плотность  $n_0$  плазмы на однородном участке:

$$n_0 = \frac{S v_{\parallel 0}^2}{2 D} \quad (6)$$

и "время жизни" плазмы

$$\tau \equiv \frac{n_0}{S} = \frac{V_{\parallel 0}^2}{2D} \quad (7)$$

В области нарастающего магнитного поля в пробках плотность плазмы убывает, и здесь появляется амбиополярное электрическое поле. Амбиополярный потенциал  $\varphi$  связан с плотностью плазмы  $n$  соотношением

$$\varphi = \frac{T_e}{e} \ln \frac{n}{n_0} \quad (8)$$

(за нуль потенциала принято его значение на однородном участке).

Из условия сохранения адиабатического инварианта  $\mu = m v_{\perp}^2 / 2$  и полной энергии ионов легко найти выражение для функции распределения в точке с произвольными значениями  $\varphi$  и  $H$ :

$$f = \frac{S v_{\parallel 0}}{4\pi D v_0} \delta(v_1 - v_0) \left(1 - \frac{1}{v_{\parallel 0}} \sqrt{v_{\parallel}^2 + \frac{2U}{m}}\right), \quad (9)$$

где

$$U = \frac{mv_0^2}{2} \left( \frac{H}{H_0} - 1 \right) + e\varphi, \quad (10)$$

- эффективная потенциальная энергия продольного движения; примерная зависимость  $U$  от координат показана на рис. I. Через максимальное значение  $U$  выражается  $v_{\parallel 0}$ :

$$v_{\parallel 0} = \sqrt{2U_{\max}/m}. \quad (II)$$

Функция распределения дается выражением (9) в области, где

$$v_{\parallel}^2 < 2(U_{\max} - U)/m, \quad (12)$$

а вне этой области  $f = 0$ . Заметим еще, что в множителе  $\delta(v_1 - v_0)$  в формуле (8) мы пренебрегаем изменением поперечной скорости частицы (возникающим вследствие сохранения  $\mu$ ), поскольку при  $R-1 \ll 1$  это изменение мало.

Из выражения (9) легко находится плотность плазмы:

$$n = n(U) = n_0 F\left(\frac{U}{U_{\max}}\right) \quad (13)$$

$$F\left(\frac{U}{U_{\max}}\right) = \sqrt{1 - \frac{U}{U_{\max}}} - \frac{U}{U_{\max}} \ln\left(\sqrt{\frac{U_{\max}}{U} - 1} + \sqrt{\frac{U_{\max}}{U}}\right) \quad (14)$$

Формально  $n$  обращается в нуль в точке, где  $U = U_{\max}$ . Фактически же здесь имеется конечная (хотя и малая) концентрация частиц, вылетающих из ловушки (или частиц специально

создаваемой запробочной плазмы). Поскольку окончательные результаты зависят от этой величины лишь логарифмически, мы учтем наличие плазмы в пробке и за пробкой тем, что добавим к выражению (13) постоянную (не зависящую от координат) добавку  $\epsilon n_0$  (с  $\epsilon \ll 1$ ). В соответствии с этим замечанием, запишем уравнение квазинейтральности в виде:

$$\exp \frac{e\varphi}{T_e} = \begin{cases} (1-\epsilon)F\left(\frac{U}{U_{\max}}\right) + \epsilon, & U < U_{\max}, \\ \epsilon, & U > U_{\max}. \end{cases} \quad (15)$$

Получающиеся из уравнения (15) графики зависимости  $\varphi$  от  $U$  при  $\epsilon = 10^{-1}, 10^{-2}, 10^{-3}, 10^{-4}, 10^{-5}$  показаны на рис. 2. С помощью соотношения (10) из них можно найти зависимости  $\varphi(H)$  и  $U(H)$  на участке от центра ловушки до пробки. Соответствующие графики приведены на рис. 3. Видно, что основное падение амбиполярного потенциала приходится на участок вблизи максимума магнитного поля.

Из соотношений (10) и (15) легко усмотреть, что максимум  $U$  совпадает с максимумом магнитного поля, т.е.

$$U_{\max} = W_0(R-1) - T_e \ln \frac{1}{\epsilon} \quad (16)$$

( $W_0 \equiv mv_0^2/2$  - энергия инжекции ионов). При возрастании  $T_e$  величина  $U_{\max}$  убывает и при

$$T_e = T_{\text{crit}} \equiv \frac{W_0(R-1)}{\ln \frac{1}{\epsilon}}$$

обращается в нуль. При  $T_e > T_{\text{crit}}$  удержание ионов в ловушке невозможно.

Для нахождения величины  $n_{\tau}$ , характеризующей качество удержания плазмы в пробкотроне, воспользуемся формулами (4), (7), (II) и (16). Результат имеет вид:

$$n_0 \tau = \frac{(m/2)^{1/2} W_0^{3/2}}{\Lambda e^4} \frac{R_{\text{eff}} - 1}{\ln \frac{8}{\sqrt{R_{\text{eff}} - 1}}} \quad (I7)$$

где

$$R_{\text{eff}} = R - \frac{T_e}{W_0} \ln \frac{1}{\epsilon} \quad (I8)$$

Сравнение полученного нами выражения для  $n_0 \tau$  (ниже оно обозначается индексом "1") со "стандартным", вычисленным по формуле (5) из обзора [2] (обозначается индексом "2"), проведем для случая малых  $T_e$ , когда последним слагаемым в формуле (I8) можно пренебречь. Результаты сравнения приведены в таблице.

$R - 1$	0.05	0.1	0.2	0.3
$\frac{(n_0 \tau)_1}{(n_0 \tau)_2}$	0.69	0.78	0.92	1.0

Из таблицы видно, что при  $\sqrt{R-1} \ll 1$  время жизни плазмы в пробкотроне оказывается меньше, чем вычисленное по "стандартным" формулам. Влияние этого отрицательного фактора можно до некоторой степени уменьшить, инжектируя в систему ионы с энергетическим разбросом  $\Delta W \gg W_0 (R_{\text{eff}} - 1)$ .

Еще одна особенность случая малых пробочных отношений состоит в том, что эффекты амбиполярного потенциала могут быть количественно учтены в рамках простого аналитического выражения (I8). Из выражения (I8) следует, в частности, что существует некоторое предельное значение температуры электронов, выше которого удержание плазмы в пробкотроне невозможно.

## ПРИЛОЖЕНИЕ

Коэффициент диффузии ионов по продольной скорости описывается выражением (2) и зависит от вида функции распределения. Разброс ионов по  $v_{||}$  определяется границей конуса потерь и составляет  $\Delta v_{||} \approx v_0 \sqrt{R - 1}$ . За время рассеяния в конус потерь происходит также рассеяние по поперечной скорости на величину  $\Delta v_{\perp} \sim \Delta v_{||} \sim v_0 \sqrt{R - 1}$ . Основываясь на этих соображениях, при вычислении коэффициента  $D$  примем модель, в которой функция распределения  $f$  считается однородной в торoidalной области  $v_{||}^2 + (v_{\perp} - v_0)^2 < \Delta v^2$  и равной нулю вне этой области:

$$f = \begin{cases} \frac{n_0}{2\pi^2 v_0 \Delta v^2}, & v_{||}^2 + (v_{\perp} - v_0)^2 < \Delta v^2, \\ 0, & v_{||}^2 + (v_{\perp} - v_0)^2 > \Delta v^2. \end{cases}$$

В случае малого разброса ионов по скорости  $\Delta v \ll v_0$  коэффициент диффузии ионов со скоростью  $v_{||} = 0$ ,  $v_{\perp} = v_0$  удается вычислить аналитически. Это можно сделать следующим образом.

Положив в интегrale (2)  $v_{||} = 0$ ,  $v_{\perp} = v_0$ , перейдем в нем от переменных  $v'_{||}$ ,  $v'_{\perp}$ ,  $\varphi$  к торoidalным координатам  $w$ ,  $\theta$ ,  $\varphi$ , смысл которых ясен из рис.4. Имеем (пока точно):

$$\begin{aligned} v'_{||} &= -w \sin \theta, \quad v'_{\perp} = v_0 + w \cos \theta, \\ D &= \frac{2\Lambda e^4 n_0}{\pi m^2 v_0 \Delta v^2} \int_0^{\Delta v} w dw \int_0^{2\pi} d\theta (v_0 + w \cos \theta) \cdot \\ &\cdot \int_0^{\pi} d\varphi \left( \frac{1}{u} - \frac{w^2 \sin^2 \theta}{u^3} \right), \\ u^2 &= w^2 + 4v_0 \sin^2 \frac{\varphi}{2} (v_0 + w \cos \theta). \end{aligned} \quad (\text{II.1})$$

Основной вклад в интеграл по  $d\varphi$  вносит область углов  $\varphi \lesssim w/v_0 < \Delta v/v_0$ . Имея в виду это обстоятельство,

можно с достаточной точностью положить

$$u^2 = w^2 + 4v_0^2 \sin^2 \frac{\varphi}{2}. \quad (\text{II.2})$$

В этом приближении  $u$  не зависит от  $\theta$ , и интегрирование по  $d\theta$  в (II.1) выполняется элементарно. Выражение для  $D$  приводится к виду:

$$\begin{aligned} D &= \frac{2\Lambda e^4 n_0}{m^2 v_0 \Delta v^2} \int_0^{\Delta v} w dw \left[ \frac{1}{w} \frac{d}{dw} w^2 \int_0^{\pi} \frac{d\varphi}{u} \right] = \\ &= \frac{2\Lambda e^4 n_0}{m^2 v_0} \int_0^{\pi} \frac{d\varphi}{\sqrt{\Delta v^2 + 4v_0^2 \sin^2 \frac{\varphi}{2}}} = \\ &= \frac{2\Lambda e^4 n_0}{m^2 v_0^2} \frac{1}{\sqrt{1 + \frac{\Delta v^2}{4v_0^2}}} K\left(\frac{1}{\sqrt{1 + \frac{\Delta v^2}{4v_0^2}}}\right), \end{aligned}$$

где  $K(x)$  – полный эллиптический интеграл (см. [3], стр. 96). Используя известное асимптотическое разложение  $K(x)$  при  $x \rightarrow 1$  (см. [3], стр. II4) и удерживая члены порядка  $\ln v_0 / \Delta v$  и порядка единицы<sup>\*</sup>, получаем формулу (4').

Чтобы оценить точность формулы (4'), мы произвели ее сравнение с коэффициентом диффузии, вычисленным в четырех различных точках численным методом. Положение этих точек в сечении тора показано на рисунке 4.

В результате сравнения мы убедились, что даже при  $\Delta v / v_0 \approx 0,4$  величина коэффициента диффузии меняется от точки к точке не более чем на 20% от величины, рассчитанной по формуле (4').

<sup>\*</sup>) Удерживать более высокие члены разложения (порядка  $(\Delta v / v_0)^2 \ln(v_0 / \Delta v)$  и выше) было бы превышением точности, ввиду использованного ранее приближения (II.2).

## Литература

1. В.П.Пастухов. В сб. "Вопросы теории плазмы", вып. I3, М., Энергоатомиздат, 1984 г., стр.160.
2. Д.В.Сивухин. В сб. "Вопросы теории плазмы", вып.5, М., Атомиздат, 1967 г., стр.439.
3. Е.Янке, Ф.Эмде, Ф.Лёш. "Специальные функции", М., изд. "Наука", 1964 г.

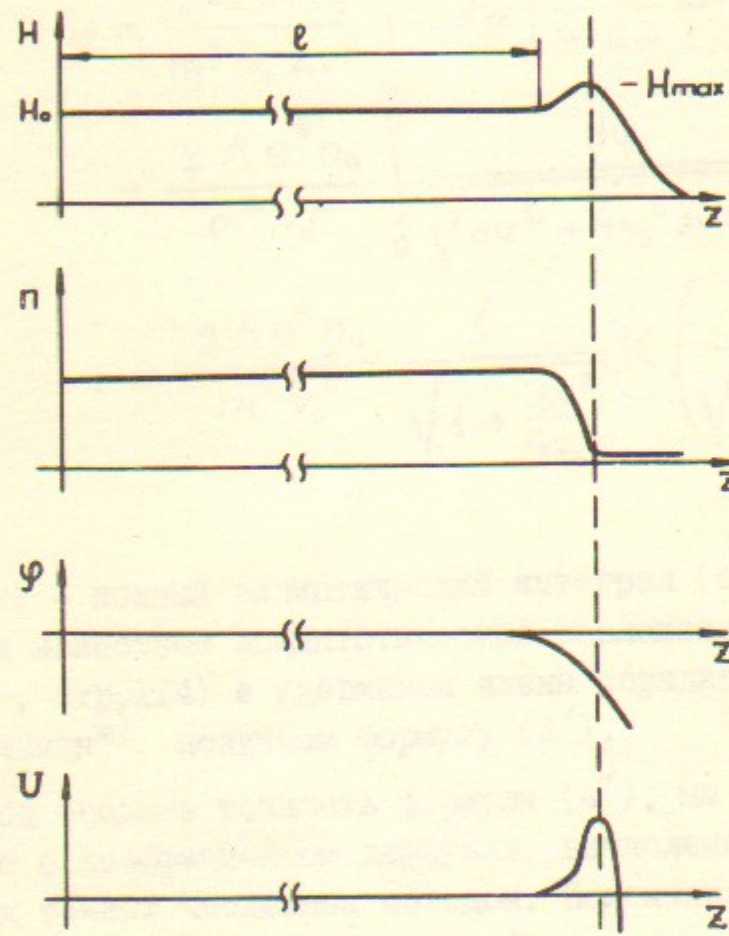


Рис.1. Величина магнитного поля  $H$ , плотности электронов  $n$ , электрического потенциала  $\varphi$  и кинетической энергии  $U$  в зависимости от расстояния до центра ловушки.

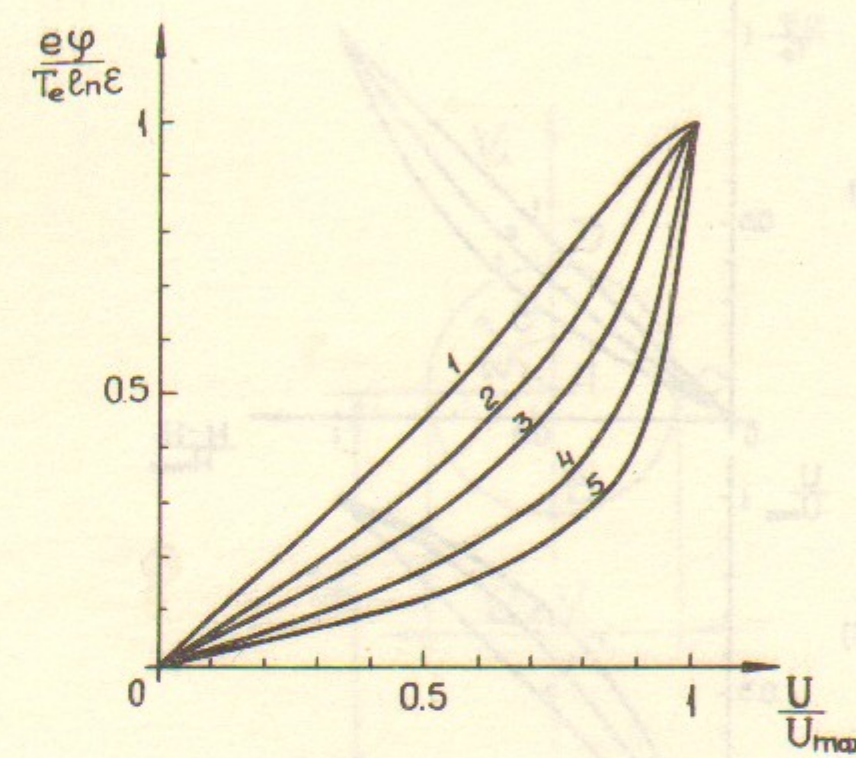


Рис.2. Зависимость электрического потенциала  $\varphi$  от кинетической энергии  $U$  при различных  $E$ .

1 -  $E = 10^{-1}$ , 2 -  $E = 3 \cdot 10^{-2}$ ,  
3 -  $E = 10^{-2}$ , 4 -  $E = 10^{-3}$ ,  
5 -  $E = 10^{-4}$

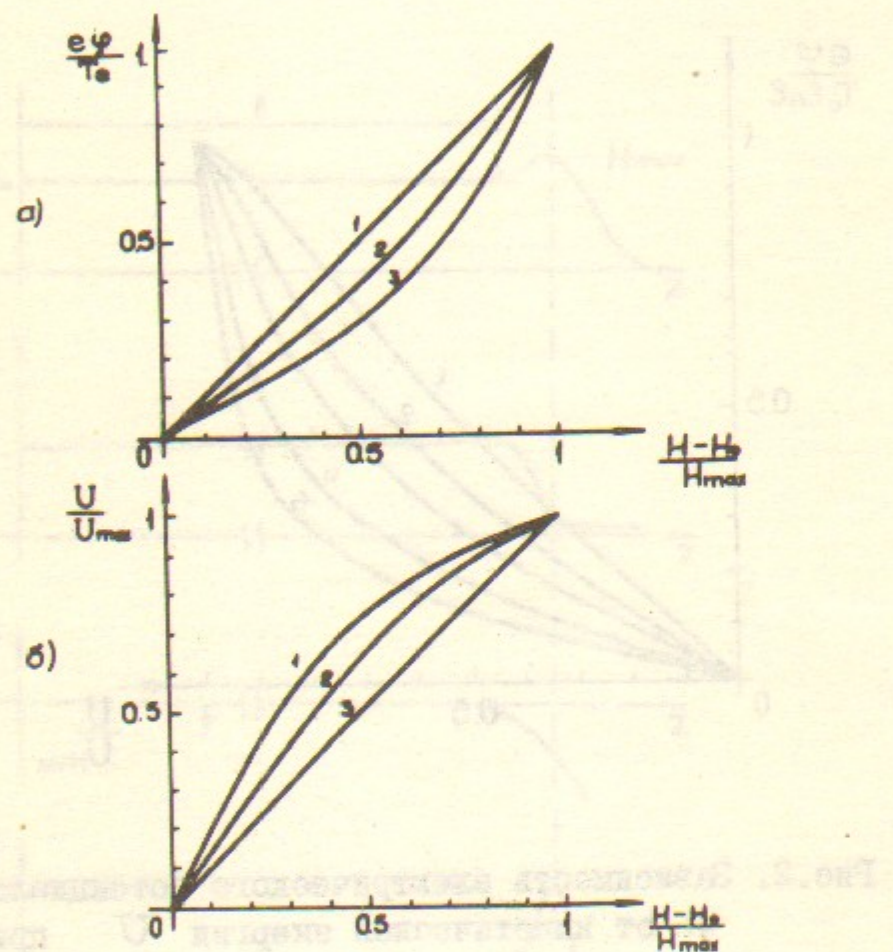


Рис.3. Зависимости электрического потенциала  $\Phi$  (а) и кинетической энергии  $U$  (б) от магнитного поля. Зависимости приведены при  $\varepsilon = 10^{-2}$  и различных  $\beta$ . Параметр  $\beta = T_e \ln(1/\varepsilon) / (W_0(R-1))$  характеризует отношение электрического потенциала в пробке к максимальной энергии продольного движения ионов, захваченных в ловушке.  
1 -  $\beta \rightarrow 1$ , 2 -  $\beta = 0,5$  3 -  $\beta = 0,1$

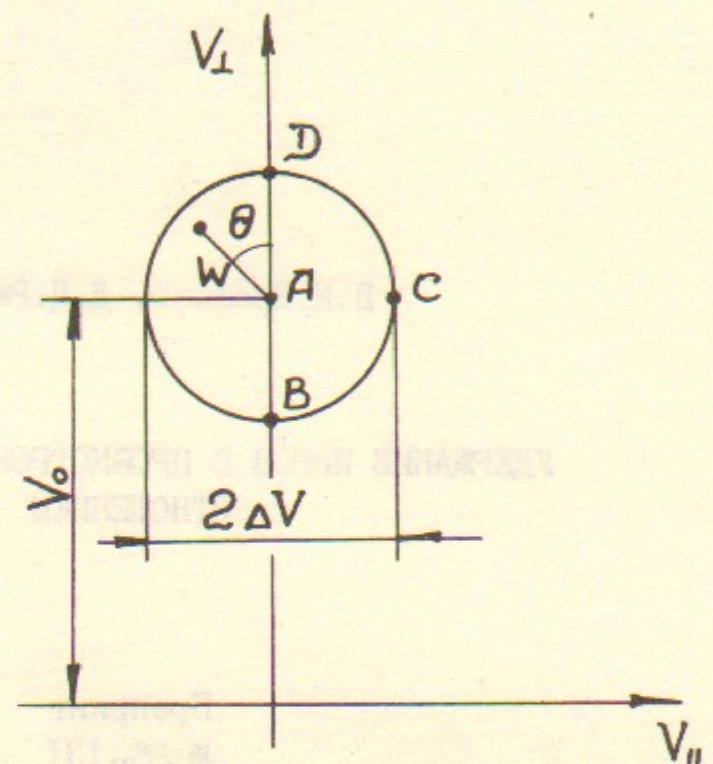


Рис.4. Область в пространстве скоростей, в которой функция распределения ионов считается отличной от нуля. Величины  $W$  и  $\Theta$  – тороидальные координаты – определяют положение иона в плоскости  $(V_{\parallel}, V_{\perp})$ ; А, В, С и  $D$  – точки, в которых производился численный счет коэффициента диффузии.

В.И.Ерофеев, Д.Д.Рютов

УДЕРЖАНИЕ ИОНОВ В ПРОБКОТРОНЕ С МАЛЫМ ПРОБОЧНЫМ  
ОТНОШЕНИЕМ

Препринт  
№ 85-ІЗІ

и . Бюллетень научно-исследовательских и опытно-конструкторских лабораторий  
академии наук СССР по физике и химии полимеров

Работа поступила - 9 июля 1985 г.

---

Ответственный за выпуск - С.Г.Попов

Подписано к печати 25.Х-1985 г. № 06782

Формат бумаги 60x90 I/16 Усл.л.3 печ.л., 1,0 учетно-изд.л.

Тираж 290 экз. Бесплатно. Заказ № ІЗІ.

---

Ротапринт ИЯФ СО АН СССР, г.Новосибирск, 90